

多層地盤における杭の「平均的」水平地盤反力係数に関する理論的検討

THEORETICAL STUDY OF THE AVERAGE COEFFICIENT OF LATERAL SUBGRADE REACTION FOR PILES IN MULTI-LAYERED SOIL

成田 修英*¹
Nobuhide NARITA

In this paper, I propose an equivalent homogeneous factor $\bar{\beta}$ (hereinafter, called “ $\bar{\beta}$ ”) to express lateral subgrade reaction for piles in multi-layered soil (where β is the characteristic value β of Chang’s formula). I formulated $\bar{\beta}$ as the elastic energy balance condition of the total length of a pile. The $\bar{\beta}$ can be calculated with a simple iterative calculation. Furthermore, I verified the characteristics of $\bar{\beta}$ by numerical analysis. In this verification, I verified convergence of the iterative calculation method for $\bar{\beta}$ and compared the pile displacement calculated with $\bar{\beta}$ to the displacement of beams in an inhomogeneous Winkler foundation model. As a result, I obtained the following information.

1. This $\bar{\beta}$ can be calculated by the proposed iterative calculation method.
2. In ordinary soil conditions, the pile displacement calculated with $\bar{\beta}$ generally agreed with the displacement of beams in inhomogeneous Winkler foundation model.

Keywords : Coefficient of Lateral Subgrade Reaction, Multi-layered Soil, Chang’s formula, 水平地盤反力係数, 多層地盤, Chang の式

1. はじめに

杭の地盤反力を Winkler ばねで表現するモデル (以下, 「梁ばねモデル」と呼ぶ) は, 地中での杭の挙動に関する実用的な計算方法として有用である. 特に, Chang の示した一様地盤における無限長杭の杭頭水平載荷に対する解¹⁾ (以下, 「Chang の式」と呼ぶ) は, 単純な閉じた形の式で表されており, 計算の容易さ, また計算結果の見通しの立て易さの点で, 実用性が高い.

Chang の式は, 単一の特性値を用いて杭の変位分布, 地盤反力分布, 断面力分布などを表現できるため, 杭の設計諸元と計算結果との因果関係を把握し易く, 特に杭の設計初期段階の概略的な検討において威力を発揮する. 現在の計算機環境では, 多層地盤の梁ばねモデルの計算や, それよりさらに厳密なモデルの計算も, 容易に実施できるが, それら厳密な計算方法も, 杭の設計諸元と計算結果との因果関係の把握し易さという点では, Chang の式におよばない. そのため, Chang の式は, 今なお有用な実用計算法として一定の地位を保っている (2019 年に改定された日本建築学会発行の最新版の指針²⁾ でも, 4 ページに渡って解説が掲載されている).

Chang の式は, 一様地盤における解であるため, 実地盤 (多層地盤) への適用に際しては, 注意が必要である. 杭頭水平載荷に対する杭の地盤反力は, 深度に対して指数関数的に減少するので, 地盤反力の集中する杭頭付近の地盤が一様と見なせるような地盤条件であれば, Chang の式と多層地盤の梁ばねモデルの解は一致するが, そうでない場合には誤差が生じる. そのような場合に, Chang の式の誤差を最小化できる多層地盤の平均的なパラメータを求めることができれば便利である. そこで本報告では, Chang の式を多層地盤に適用する際の誤差評価の方法と, 評価対象となる多層地盤と杭の諸元から, Chang の式に代入するための平均的なパラメータを決定するための方法について検討した結果について述べる (以下, このような平均的な地盤を「等価一様地盤」と呼ぶ).

なお, 杭頭鉛直載荷に対する等価一様地盤の考察は付録 1 に記載している.

2. 理論

2.1 検討対象とする地盤と杭の条件

図 1 に, 検討対象とする地盤と杭の条件を示す. 同図の通り, n 層地盤に無限長の杭が打設されているものとして, 梁ばねモデルで検討を行う. このとき i 層における杭の変位を $u_i(z)$ とすると, i 層における杭のせん断力増分と地盤反力の関係は次式の通りになる.

$$EI_i \frac{d^4 u_i(z)}{dz^4} + k_{hi} B_i u_i(z) = 0 \quad (1)$$

(1) 式の微分方程式の解が, 多層地盤における水平載荷の梁ばねモデルの厳密解である.

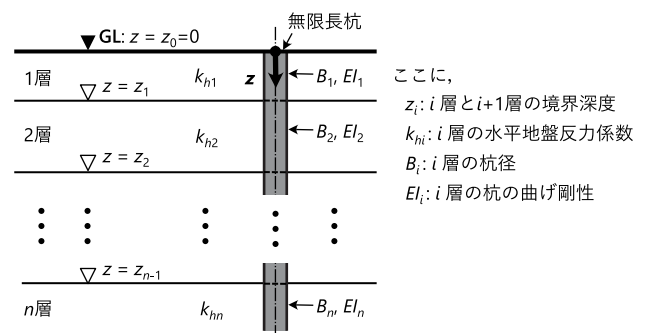


図 1 検討対象とする地盤と杭

2.2 多層地盤における Chang の式の誤差

Chang の式と多層地盤の解 ((1) 式の解) では, あらゆる点で食い違いが生じるため, 無数の誤差評価法が考えられるが, ここでは杭全長における弾性エネルギーの収支に着目し, 以下の通りに誤差関

*1 戸田建設株式会社技術開発センター 修士 (工学)

Technology Development Center, TODA CORPORATION, M.Eng.

数を定義する。そうすると、誤差関数を最小化する Chang の式のパラメータとして、等価一様地盤のパラメータも定まる。

(1) 杭全長における弾性エネルギーの収支

(1)式より、梁ばねモデルにおける弾性エネルギーの収支の条件式が容易に導ける。まず、(1)式の両辺に $u_i(z)/2$ をかけると次式が求まる。

$$\frac{1}{2}EI_i \frac{d^4 u_i(z)}{dz^4} u_i(z) + \frac{1}{2} k_{hi} B_i u_i^2(z) = 0 \quad (2)$$

(2)式は任意の深度で成り立つので、(2)式の左辺を杭全長に渡って積分してもやはり成り立つ (次式)。

$$\int_0^\infty \left(\frac{1}{2} EI_i \frac{d^4 u_i(z)}{dz^4} u_i(z) + \frac{1}{2} k_{hi} B_i u_i^2(z) \right) dz = 0 \quad (3)$$

ここで(3)式左辺の被積分関数に着目すると、1項目は杭に蓄えられる弾性エネルギー、2項目は外力(地盤反力)が杭に成す仕事を表していることが分かる。したがって、(3)式は「杭に蓄えられるエネルギーと外力の成す仕事の収支は、杭全長で考えると釣合う(足すとゼロになる)」ことを示した式となっている((2)式は、「杭全長で考えなくても」各深度でもエネルギーの収支が釣合う」ことを示している)。

(2) 弾性エネルギーの収支に着目した Chang の式の誤差

(3)式を元に多層地盤における Chang の式の誤差関数を定義する。まず Chang の式による杭の変位を $u_c(\beta, z)$ とおき、(3)式の右辺に $u_i(z)$ の代わりに $u_c(\beta, z)$ を代入した関数を $\varepsilon(\beta)$ とおく(次式)。ここに β は Chang 式の特値で、水平地盤反力係数を k_h 、杭径を B 、杭の曲げ剛性を EI とすると、 $\beta := \sqrt[4]{k_h B / 4EI}$ である。

$$\varepsilon(\beta) := \int_0^\infty \left(\frac{1}{2} EI_i \frac{d^4 u_c(\beta, z)}{dz^4} u_c(\beta, z) + \frac{1}{2} k_{hi} B_i u_c^2(\beta, z) \right) dz \quad (4)$$

ここに、 $A := B$ は記号Aを左辺の数式Bの内容で定義することを表す。

$u_c(\beta, z)$ と $u_i(z)$ は一致しないので、一般に $\varepsilon(\beta) \neq 0$ である。 $\varepsilon(\beta)$ の値は、杭の変位として厳密解でなく $u_c(\beta, z)$ を用いることにより生じるエネルギー収支の不釣り合い(誤差)を表している。

2.3 等価一様地盤における Chang の式の特値

(1) 等価一様 β の定義と条件式

上で定義した誤差関数 $\varepsilon(\beta)$ の値をゼロにするような特値 β を求めることが可能である。このような β を、等価一様地盤における β 、等価一様 β と呼び、以下、記号 $\bar{\beta}$ で記す。 $\varepsilon(\bar{\beta}) = 0$ を満たすような $\bar{\beta}$ が必ず存在することの証明については付録2に示す。 $\bar{\beta}$ の存在証明については、良い物理的解釈があれば本文に記載したが、数学的な証明しか思いつかなかったため、付録とした。

以下、(4)式を整理し $\bar{\beta}$ の条件式を導く。まず Chang の式の性質より、次式が成り立つ。

$$\frac{d^4 u_c(\beta, z)}{dz^4} = -4\beta^4 u_c(\beta, z) \quad (5)$$

これを(4)式に代入して次式が導ける。

$$\varepsilon(\beta) = \int_0^\infty \left(-2EI_i \beta^4 + \frac{1}{2} k_{hi} B_i \right) u_c^2(\beta, z) dz \quad (6)$$

さらに(6)式に $\varepsilon(\bar{\beta}) = 0$ を代入して整理すると、 $\bar{\beta}$ に関する以下のような条件式が得られる。

$$\bar{\beta}^4 = \frac{\sum_{i=1}^n \left(\frac{k_{hi} B_i}{4EI_i} \int_{z_{i-1}}^{z_i} u_c^2(\bar{\beta}, z) dz \right)}{\int_0^\infty u_c^2(\bar{\beta}, z) dz} \quad (7)$$

以下、表記の簡略化のため、(7)式の右辺の関数を $f(\beta)$ と記す(次式)。

$$f(\beta) := \frac{\sum_{i=1}^n \left(\frac{k_{hi} B_i}{4EI_i} \int_{z_{i-1}}^{z_i} u_c^2(\beta, z) dz \right)}{\int_0^\infty u_c^2(\beta, z) dz} \quad (8)$$

(7)式の条件を満たす $\bar{\beta}$ は、次の反復計算の収束値として数値的に求めることが出来る。

$$\beta_{j+1}^4 = f(\beta_j) \quad (9)$$

ここに、 β_j は β の想定値 $\hat{\beta}$ に関する反復計算のj番目の値を表す。

$\hat{\beta}$ の初期値 $\hat{\beta}_1$ には1層目の諸元(図1参照)に対応した Chang の式の特値である次式を用いれば良い。

$$\hat{\beta}_1 = \sqrt[4]{\frac{k_{h1} B_1}{4EI_1}} \quad (10)$$

(2) 関数 $f(\beta)$ の具体的な形

反復計算により $\bar{\beta}$ を求めるためには、関数 $f(\beta)$ が数値計算のできる具体的な形で定まっている必要がある。これは $f(\beta)$ の定義式(8)式に Chang の式を代入して計算を実行すれば定まる。以下、杭頭自由条件と杭頭固定(回転拘束)条件でそれぞれ $f(\beta)$ の具体形を示す。

杭頭自由条件では、 $\int u_c^2(\beta, z) dz$ は、次のようになる(積分定数は省略)。

$$\int u_c^2(\beta, z) dz = -\frac{1}{8\beta} \left(\frac{P}{2EI\beta^3} \right) e^{-2\beta z} \left(2 + \sqrt{2} \cos \left(2\beta z + \frac{\pi}{4} \right) \right) \quad (11)$$

ここに、 P は杭頭荷重を表す。

これを用いて、 $f(\beta)$ の具体形が次の通りに定まる。

$$f(\beta) = \begin{cases} \sum_{i=1}^n \frac{k_{hi} B_i}{4EI_i} (g_1(\beta, z_{i-1}) - g_1(\beta, z_i)) & (\beta \neq 0) \\ \frac{k_{hn} B_n}{4EI_n} & (\beta = 0) \end{cases} \quad (12)$$

$$g_1(\beta, z) := \frac{1}{3} e^{-2\beta z} \left(2 + \sqrt{2} \cos \left(2\beta z + \frac{\pi}{4} \right) \right) \quad (13)$$

杭頭固定条件では、 $\int u_c^2(\beta, z) dz$ は、次のようになる(積分定数は省略)。

$$\int u_c^2(\beta, z) dz = -\frac{1}{4\beta} \left(\frac{P}{4EI\beta^3} \right) e^{-2\beta z} \left(2 + \sqrt{2} \sin \left(2\beta z + \frac{\pi}{4} \right) \right) \quad (14)$$

これを用いて、 $f(\beta)$ の具体形が次の通りに定まる。

$$f(\beta) = \begin{cases} \sum_{i=1}^n \frac{k_{hi} B_i}{4EI_i} (g_2(\beta, z_{i-1}) - g_2(\beta, z_i)) & (\beta \neq 0) \\ \frac{k_{hn} B_n}{4EI_n} & (\beta = 0) \end{cases} \quad (15)$$

$$g_2(\beta, z) := \frac{1}{3} e^{-2\beta z} \left(2 + \sqrt{2} \sin \left(2\beta z + \frac{\pi}{4} \right) \right) \quad (16)$$

β が極端に大きい（杭の曲げ剛性に対し地盤反力係数が極端に大きい）場合、 $f(\beta)$ は杭頭自由条件、固定条件ともに $k_{h1}B_1/4EI_1$ に漸近する。このことは、 $f(\beta)$ の具体形の式より、容易に確かめることができる。まず、 $g_1(\beta, z), g_2(\beta, z)$ ともに $e^{-2\beta z}$ のオーダーの関数なので、次式が成り立つ。

$$g_1(\beta \rightarrow \infty, z_i) \approx g_2(\beta \rightarrow \infty, z_i) \approx 0 \quad (i \geq 1) \quad (17)$$

一方、(13)、(16)式より次式も成り立つ。

$$g_1(\beta, 0) = g_2(\beta, 0) = 1 \quad (18)$$

(17)、(18)式より、杭頭自由条件、固定条件ともに次式が成り立つ。

$$f(\beta \rightarrow \infty) \approx \frac{k_{h1}B_1}{4EI_1} \quad (19)$$

(3) 等価一様 β の反復計算の収束性

$\bar{\beta}$ は、図2に示すような $y = \beta^4$ のグラフと $y = f(\beta)$ のグラフの交点と考えることができる。同図における $y = f(\beta)$ のグラフは、 $f(\beta)$ の具体形((12),(15)式)と $f(\beta \rightarrow \infty)$ に関する考察より想定される典型的なパターンを示したものである。同図(a)は標準的な地盤条件にけるグラフを示しており、同図(b)はかなり稀なケースと考えられるが、例えば表層地盤改良した地盤の改良体を貫通して細径の杭が打設されているような条件でのパターンを示している。どちらのパターンでも、 $\hat{\beta}$ は、同図の「 $\hat{\beta}$ の収束の軌跡」にあるような軌跡を描いて $\bar{\beta}$ に収束する。この収束性の厳密な証明は、付録3に示す。

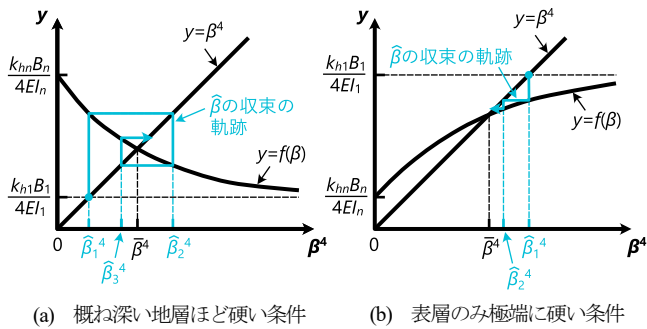


図2 $\beta^4, f(\beta)$ のグラフと反復計算による $\hat{\beta}$ 収束の軌跡の模式図

3. 等価一様 β の適用性検証

3.1 多層地盤に打設された杭の等価一様 β を計算する手順

2章に全て示した内容ではあるが、2章の記載は理論の説明を主眼に置いており、具体的な $\bar{\beta}$ の計算手順については、あまり整理された記載になっていないので、ここで簡潔にまとめる。

まず反復計算の準備として、杭と地盤の諸元から各層の水平地盤反力係数 k_{hi} を算出し、 $k_{hi}B_i/4EI_i$ を求めておく。また $\hat{\beta}$ の収束判定方法を決めておく。 $\hat{\beta}$ の収束判定は、例えば「次式のように定義できる収束率 R_j が一定値（例えば 1/100）以下であるなら収束したと見なす」などとして良い。

$$R_j := \frac{|\hat{\beta}_{j+1} - \hat{\beta}_j|}{\hat{\beta}_j} \quad (20)$$

以上準備をした上で、図3のフローに従って反復計算を行えば、収束判定において設定した所要の精度の $\bar{\beta}$ が求まる。

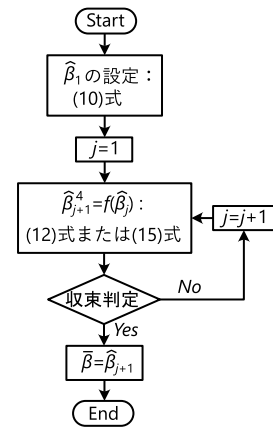


図3 等価一様 β の計算フロー

3.2 等価一様 β の数値的検証

3ケースの模擬地盤を設定し、表1の諸元を持つ杭に対して杭頭自由の条件と杭頭固定の条件それぞれで $\bar{\beta}$ の計算を実施、反復計算の収束性の確認と多層地盤の梁ばねモデルの厳密解との比較を行う。簡単のため、杭は表1の値で全層均質とする。また、等価一様地盤における Chang の式と多層地盤の梁ばねモデルの解との比較は、杭頭載荷 1kN 時の杭の変位分布にて行う。

表1 検証計算における杭の諸元

杭径 B (m)	曲げ剛性 EI (kN・m ²)	杭長
1	1.03 × 10 ⁶	無限

模擬地盤は各層ポアソン比 ν_i とせん断波速度 V_{si} および地盤の質量密度 ρ を設定し、以下の式により、地盤の弾性係数 E_{si} を設定する。ただし、地盤の質量密度は簡単のため、全層一律 $\rho = 1.8t/m^3$ とする。

$$G_{si} = \rho V_{si}^2 \quad (21)$$

$$E_{si} = 2(1 + \nu_{si})G_{si} \quad (22)$$

ここに、 G_{si} は*i*層のせん断弾性係数を表す。

求めた E_{si} を Francis の式³⁾(次式)に代入すれば、水平地盤反力係数が求まり、この値と表1の杭諸元を用いて、梁ばねモデルの計算が実施できる。

$$k_{hi}B = \frac{1.3E_{si}}{1 - \nu_i^2} \left(\frac{E_{si}B^4}{EI} \right)^{1/12} \quad (23)$$

また、検証計算では収束状況の確認のため、反復計算の各ステップにおける $\hat{\beta}$ の値から逆算した平均的なせん断波速度（以下、 \hat{V}_s と記す）の出力も行う（ $\hat{\beta}$ の数値よりも、それを基に逆算した \hat{V}_s の方が、状況の直感的把握が容易なので）。 \hat{V}_s の計算は、(21)~(23)式の手順を逆に辿って以下の通りを行う。まず β の定義式より、平均的な地盤反力係数（かける杭径） k_{hB} が逆算できる。

$$k_{hB} = 4EI\hat{\beta}^4 \quad (24)$$

(24)式の結果を Francis の式に代入して次式のように整理すると、平均的な地盤の変形係数 \hat{E}_s が求まる。この際、平均的な地盤のポアソン比 $\hat{\nu}$ が必要となるが、ここでは簡単のため $\hat{\nu} = 0.3$ を仮定する。

$$\hat{E}_s = \left(\frac{EI}{B^4} \right)^{\frac{1}{13}} \left(\frac{k_h B (1 - \hat{\nu}^2)}{1.3} \right)^{\frac{12}{13}} \quad (25)$$

\hat{V}_s と \hat{E}_s の間には、その定義より、次の関係が成り立つので、

$$\hat{V}_s = \sqrt{\frac{\hat{E}_s}{2(1 + \hat{\nu})\rho}} \quad (26)$$

この関係と(24),(25)式を組み合わせることにより、 $\hat{\beta}$ から \hat{V}_s が求まる。

(1) 模擬地盤ケース 1

表2 ケース1の地盤諸元

層番号	下端深度 (m)	V_{s_i} (m/s)	ν_i
1	1	100	0.30
2	3	150	0.48
3	10	300	0.48
4	無限	500	0.48

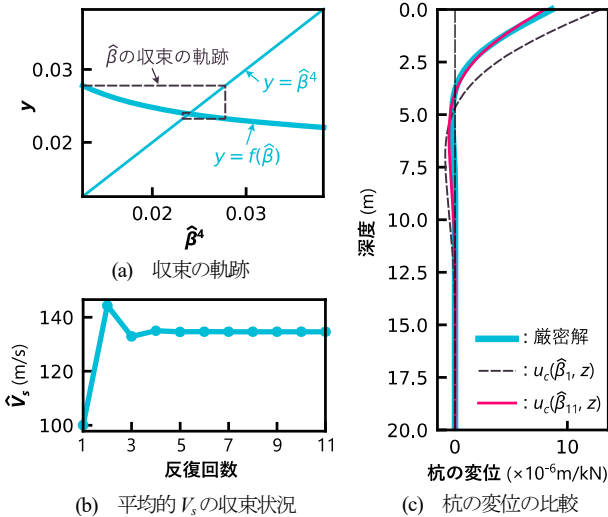


図4 ケース1 杭頭自由条件計算結果

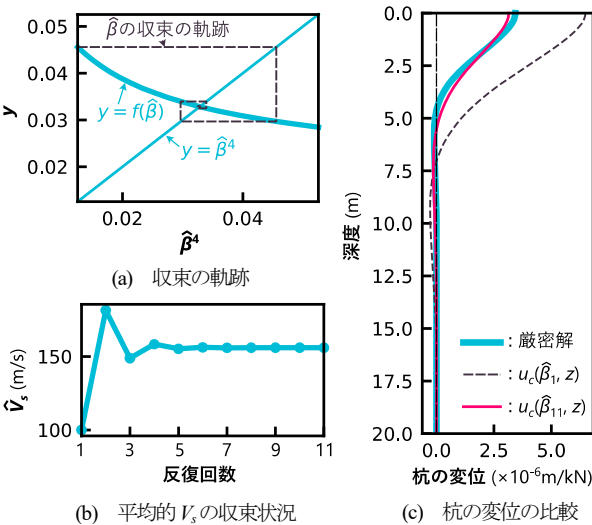


図5 ケース1 杭頭固定条件計算結果

ケース1は標準的な地盤条件を想定している。表2が地盤の諸元、図4が杭頭自由条件の結果、図5が杭頭固定条件の結果である。図4, 5(a)より、このような地盤条件では、 $\hat{\beta}$ の収束の軌跡は図2(a)のパターンをとることが確認できる。また図4, 5(b)より、反復回数5~6回程度で値が収束すること、収束値には2層目以深の V_s も反映されていることが分かる。 \hat{V}_s の収束値については、杭頭自由条件(図4(b))よりも杭頭固定条件(図5(b))の方が大きい、これは、杭頭固定条件の方がより深い地層まで変位がおよび、より深い地層の V_s を反映することによる。図4, 5(c)を見ると、1層目の物性を用いた $\hat{\beta}_{11}$ によるChangの式の変位は、厳密解(多層地盤の梁ばねモデルの解)と整合しないが、十分に収束した値である $\hat{\beta}_{11}$ を用いたChangの式の変位は、厳密解に概ね整合していることが確認できる。

ただし、 $\hat{\beta}$ が高い精度で収束しても、それを用いたChangの式の変位解が $\hat{\beta}$ の収束精度と同じ精度で厳密解に整合するわけではないことは、注意が必要である。実際、図4, 5(c)を確認すると、厳密解と $u_c(\hat{\beta}_{11}, z)$ は、概ね整合してはいるものの、目視で確認できるレベルの誤差がある。これは、反復計算の回数が足りないのではなく、多層地盤内の杭の挙動を単一の平均的なパラメータ $\bar{\beta}$ で表現することの限界によるものである。 $\bar{\beta}$ を用いたChangの式の解は杭全長でのエネルギー収支の釣合いは満足するが、各深度における力の釣合いは満足しない。一方、多層地盤の厳密解は各深度の力の釣合いも満足する(杭全長でのエネルギー的釣合いも当然満足する)ので、そこに差異が生じる。この点は、 $\bar{\beta}$ を用いてChangの式で多層地盤の杭の挙動を表現することの限界として認識しておく必要がある。

(2) 模擬地盤ケース2

ケース2は堅固な中間支持層(3層目)のある地盤条件を想定している。表3が地盤の諸元、図6が杭頭自由条件の結果、図7が杭頭固定条件の結果である。3層目は、中間支持層としては浅すぎてやや現実味が無いが、杭頭に近い地層の方が $\bar{\beta}$ への影響が強く、この種の地盤条件における傾向を捉え易くなるため、中間支持層のある場合の極端な例として設定している。図6,7より、ケース2の傾向はケース1と大差ない。ただし、杭頭固定条件ではケース1よりも収束性がやや悪い傾向がある(図5(a),(b)と図7(a),(b)の比較より)。これが中間支持層のある地盤の特徴だと考えられる。杭頭自由条件では、収束性の悪化は見られないが、これはケース1の結果の考察でも述べた通り、杭頭自由条件では杭頭固定条件よりも杭の変位が浅い部分に集中する傾向があるため、この場合、杭頭自由条件では中間支持層の寄与が小さかった(1,2層目の寄与が卓越した)ことによると考えられる。

表3 ケース2の地盤諸元

層番号	下端深度 (m)	V_{s_i} (m/s)	ν_i
1	1	100	0.30
2	3	150	0.48
3	5	500	0.48
4	10	300	0.48
5	無限	500	0.48

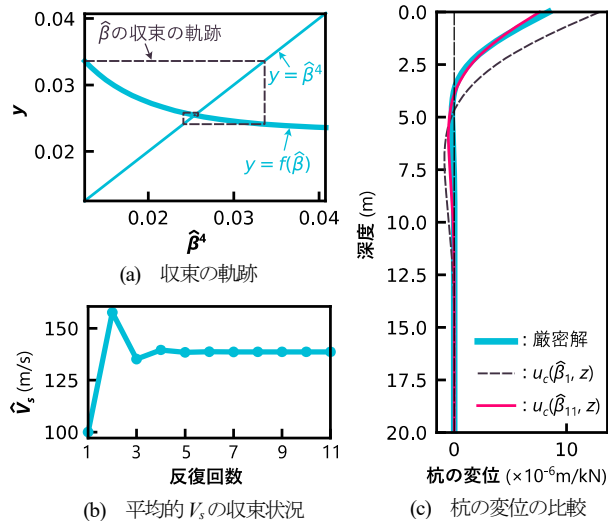


図 6 ケース 2 杭頭自由条件計算結果

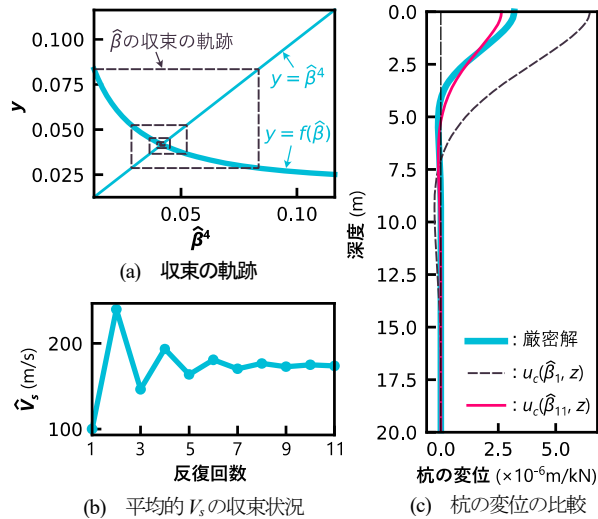


図 7 ケース 2 杭頭固定条件計算結果

(3) 模擬地盤ケース 3

ケース 3 は図 2 (b) のような収束パターンが現れる地盤条件の典型例として設定している。表層地盤改良の改良体を杭が貫通するような条件である。表 4 が地盤の諸元、図 8 が杭頭自由条件の結果、図 9 が杭頭固定条件の結果である。図 8、9 (a) より、このような地盤条件では図 2 (b) の収束パターンが現れることが確認できる。この収束パターンでは、図 2 (a) やケース 1、2 のような収束パターンと異なり収束の過程で β の値が振動しないため、収束性が良い傾向があり、この場合には反復回数 3 ~ 4 回程度で値が収束している (図 8、9 (b) より)。ただ、収束性は良いものの、変位に関しては厳密解との乖離が大きい傾向があり (図 8、9 (c) より)、この点には注意が必要だと考えられる。

表 4 ケース 3 の地盤諸元

層番号	下端深度 (m)	V_{si} (m/s)	ν_i
1	1	700	0.30
2	3	150	0.48
3	5	300	0.48
4	無限	500	0.48

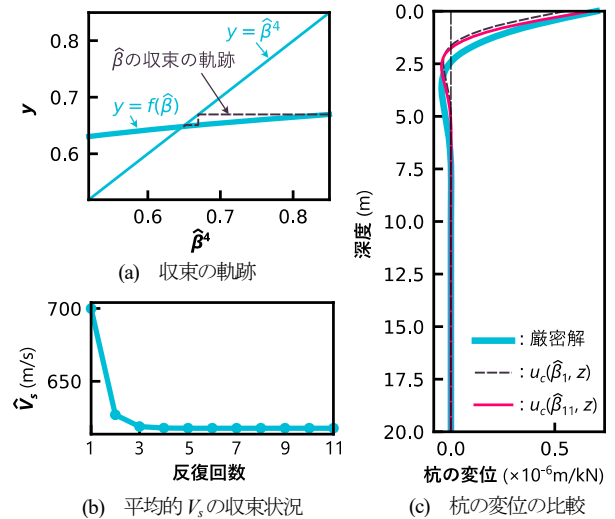


図 8 ケース 3 杭頭自由条件計算結果

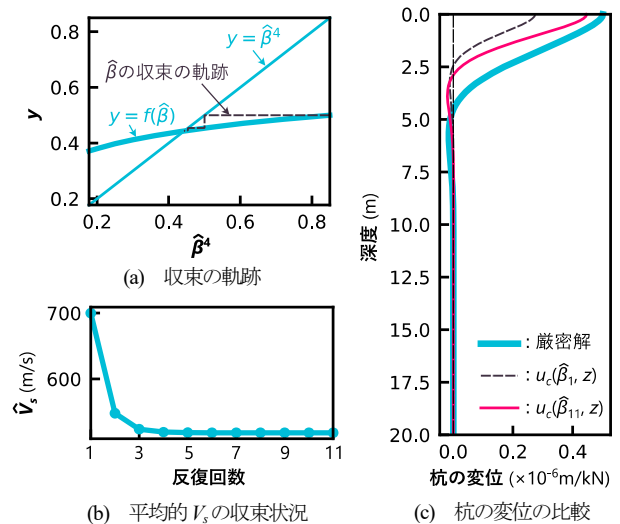


図 9 ケース 3 杭頭固定条件計算結果

4. まとめ

多層地盤における Chang の式の適用性を拡張するため、等価一様地盤の概念を提案し、杭全長での弾性エネルギーの収支の釣り合い条件から、等価一様 β とその数値計算法を定式化した。また等価一様 β の計算とそれを用いた Chang の式の解の数値的検証も行った。その結果、以下の知見を得た。

- 1) 提案した反復計算法により等価一様 β を得ることができる。
- 2) 標準的な地盤条件では、等価一様 β による Chang の式の解と多層地盤の梁ばねモデルの厳密解は概ね整合する。ただし、等価一様 β の「等価」は、あくまで杭全長でのエネルギー的な釣合いが満足されるという意味での「等価」であり、厳密解との整合性が担保されているわけではない。厳密解との整合が悪い条件もあるので注意が必要である。

今後は変位だけでなく断面力についても検証を進めるとともに、多層地盤における杭と地盤の相互作用解析に等価一様地盤の概念を応用できないか検討を進めたい。

参考文献

- 1) Y. L. Chang, Discussion on “Lateral pile-loading test” by Feagin, Trans., ASCE, p. 272-278, 1937
- 2) 日本建築学会 「建築基礎構造設計指針」, 日本建築学会, p.259-262, 2019.11
- 3) A. J. Francis, “Analysis of pile groups with flexural resistance”, Journal of the Soil Mechanics and Foundations Division, ASCE, Vol. 90, Issue 3, p. 1-32, 1964.3, doi:10.1061/JSFEAQ.0002133
- 4) M. F. Randolph and C. P. Wroth, “Analysis of deformation of vertically loaded piles”, Journal of Geotechnical and Geoenvironmental Engineering, ASCE, Vol. 104, Issue 12, p. 1465-1488, 1978.12, doi: 10.1061/AJGEB6.0000729
- 5) 地盤工学会 「杭基礎の設計法とその解説」, 地盤工学会, p. 538-540, 1985.12
- 6) F. Kuwabara, “Settlement behaviour of non-linear soil around single piles subjected to vertical loads”, SOILS AND FOUNDATIONS, Vol. 31, No. 1, pp. 39-46, 1991.1, doi: 10.3208/sandf1972.31.39

付録 1. 鉛直载荷に対する平均的な地盤反力係数

鉛直方向の平均的な地盤反力係数を求める方法は、弾性論的な簡易法としては、Randolf の方法⁴⁾以外には見当たらない。しかしながら、Randolf の方法は杭が剛体として近似できることを仮定しており、この仮定は、地盤反力に対して杭の軸剛性が相対的に低い場合には成り立たない。これを確かめるためには、杭の軸変形の度合いを計算すれば良い。

杭の軸変形の指標として、杭頭変位 u_t と杭先端変位 u_b の比(r_p とおく)を考える。この比 r_p が1に近ければ近いほど、杭が剛体に近いと言える。鉛直载荷に対する梁ばねモデルの解^{例えは5)}より、 r_p は次式で表されるので、杭が剛である条件は、 $e^{\beta v l} = e^{-\beta v l} = 1$ である。

$$r_p := \frac{u_t}{u_b} = \frac{1}{2}(e^{\beta v l} + e^{-\beta v l}) + \frac{k_b}{2EA\beta_v}(e^{\beta v l} - e^{-\beta v l}) \quad (a1)$$

ここに、 A は杭の断面積、 k_b は杭先端の地盤ばね、 β_v は鉛直载荷に対する梁ばねモデルの特性値であり杭の鉛直地盤反力係数を k_v とおくと $\beta_v := \sqrt{k_v B / EA}$ である。

Randolf の方法により定まる β_v を用いて $e^{\beta v l}$ を計算し、その結果が1に十分近い場合には、そのまま Randolf の方法が使えるが、そうでない場合には、Randolf の方法の前提となる仮定が破綻しているので別の方法を用いた方が良いと考えられる。

多層地盤における Randolf の方法の代替として最も単純なアイデアは、オリジナルの Randolf の方法による地盤反力係数の計算(次式)を、

$$k_v B = \frac{2\pi G_e}{\log\left(\frac{2r_m}{B}\right)} \quad (a2)$$

$$r_m := 2.5l(1 - v_e) \quad (a3)$$

ここに、 G_e は地盤の平均的なせん断弾性係数、 v_e は地盤の平均的なポアソン比、 l は杭長を表す。

次のように各層の値に書き換えて多層の梁ばねモデルの計算を実施することであるが、このような計算法の適用性を検討した例は見当たらない。この適用性検討については、今後の課題である(一様地盤については、境界要素法を用いた精算解との比較により、杭の軸剛性が比較的低い場合にも Randolf の方法により実用的な精度の解が得られることが検証されている(Kuwabara⁶⁾による)が、多層地盤で Randolf の方法の適用性を検証した例は見当たらない。

$$k_{vi} B = \frac{2\pi G_i}{\log\left(\frac{2r_{mi}}{B}\right)} \quad (a3)$$

$$r_{mi} := 2.5l(1 - v_i) \quad (a4)$$

ここに、 s_{vi} は*i*層の鉛直地盤反力係数を表す。

なお、(a3)、(a4)式の計算法を採用した上で、Chang の式の等価一様 β を求めるのと同様の考え方により、等価一様 β_v を求めることも出来るが、以下3点の理由により、多層の梁ばねモデルの計算をそのまま実施する方が、等価一様地盤の計算よりもメリットが大きいと考えられる。

- 1) 等価一様 β_v を求めてそれを用いるよりも、多層の計算の方が厳密な解が得られる。
- 2) 鉛直の場合は、杭頭荷重が杭先端まで伝わり易く、有限長杭の解を用いる必要があるため、水平の場合の Chang の式に比べると、一様地盤の解であっても式の形が複雑で計算が難しい。特に、等価一様 β_v を求めようとすると、煩雑な計算が必要となる。
- 3) 鉛直の場合は、梁ばねモデルの力の釣合いを表す微分方程式の階数が低く、水平の場合よりも解くのが簡単なので、多層の計算も比較的容易である(水平の場合は4階の微分方程式なのに対し、鉛直では2階である)。

付録 2. 等価一様 β ($\beta^4=f(\beta)$ の解) の存在証明

本文図2より直感的にはほぼ明らかであるが、同図は典型的と考えられるパターンを示したものであり、本文図2だけでは、いかなる条件下でも必ず $\bar{\beta}$ が存在するとは言えない。ここでは、いかなる条件下でも必ず $\bar{\beta}$ が存在することを確かめる。まず $\beta = 0$ において、 $\beta^4 = 0$ かつ $f(\beta = 0) = k_{hn} B_n / 4EI_n$ なので、次の関係が成り立つ。

$$\beta^4 < f(\beta) \quad (\beta = 0) \quad (a5)$$

また $\beta \rightarrow \infty$ では、 $\beta^4 \rightarrow \infty$ かつ $f(\beta \rightarrow \infty) = k_{h1} B_1 / 4EI_1$ で、 β^4 が無限大に発散するのに対し $f(\beta)$ は高々有限値なので、次の関係が成り立つ。

$$\beta^4 > f(\beta) \quad (\beta \rightarrow \infty) \quad (a6)$$

(a5)、(a6)式より、 $\beta = 0$ から $\beta \rightarrow \infty$ の間のどこかで、 β^4 と $f(\beta)$ の大関係が入れ替わることが分かる。このことと、 β^4 と $f(\beta)$ がともに

連続関数であることより、 $\beta = 0$ から $\beta \rightarrow \infty$ の間のどこかに、かならず $f(\beta) = \beta^4$ となる β 、つまり $\bar{\beta}$ が存在することが分かる。

付録 3. 等価一様 β を求めるための反復計算の収束性証明

本文で示した反復計算法の収束性は、本文図 2 や本文 3 章の計算の結果からは明らかに思えるが、厳密な収束性の証明は図の印象ほど容易ではない。ここでは $f(\beta)$ が単調増加関数である場合(本文図 2(b)のパターン)と、単調減少関数である場合(本文図 2(a)のパターン)の収束性の証明を示す。

なお、かなり極端な地盤条件を設定した検証計算のケース 2, 3 でも $f(\beta)$ は単調関数であったので、現実的な地盤条件で $f(\beta)$ が単調関数にならないような条件は無いかもしれないが、もし $f(\beta)$ が単調でなく本文で示した反復計算が上手く収束しない場合でも、 $f(\beta) = \beta^4$ の解が存在することは確かなので(付録 2 に示した解の存在証明は $f(\beta)$ が単調か否かによらず成り立つ)、2 分法等の球根アルゴリズムにより、解を求めることは可能である。

付録 3.1 $f(\beta)$ が単調増加関数である場合の収束性証明

はじめに、本文の通りに β の初期値 $\hat{\beta}_1$ を設定したとき、反復の度に $\hat{\beta}$ の値が小さくなることを示す。 $f(\beta \rightarrow \infty) = k_{h1}B_1/EI_4 = \hat{\beta}_1^4$ なので、 $f(\beta)$ が単調増加な場合は、任意の β について、 $f(\beta) < \hat{\beta}_1^4$ である。したがって、次式が成り立つ。

$$f(\hat{\beta}_1) = \hat{\beta}_2^4 < \hat{\beta}_1^4 \tag{a7}$$

このとき $f(\beta)$ が単調増加であるので、次式が成り立つ。

$$f(\hat{\beta}_2) < f(\hat{\beta}_1) \tag{a8}$$

$f(\hat{\beta}_j) = \hat{\beta}_{j+1}^4$ なので、(a8)式より次式も成り立つ。

$$\hat{\beta}_3^4 < \hat{\beta}_2^4 \tag{a9}$$

同様の手順を繰り返すことにより、任意の反復回数 j の $\hat{\beta}_j$ について次式が成り立つことが分かる。

$$\hat{\beta}_{j+1}^4 < \hat{\beta}_j^4 \tag{a9}$$

次に、任意の反復回数 j の $\hat{\beta}_j$ について $\bar{\beta} < \hat{\beta}_j$ であることを示す。まず、単調増加関数 $f(\beta)$ に対して、常に $f(\beta) < \hat{\beta}_1^4$ がなりたっているため、 $f(\beta)$ と β^4 の交点である $\bar{\beta}$ と $\hat{\beta}_1$ の大小関係は次の通りになる。

$$\bar{\beta} < \hat{\beta}_1 \tag{a10}$$

このとき、 $f(\beta)$ が単調増加なので、次式の関係も成り立つ。

$$f(\bar{\beta}) < f(\hat{\beta}_1) \tag{a11}$$

(a11)式において、 $\bar{\beta}$ の定義より $f(\bar{\beta}) = \bar{\beta}^4$ 、 $\hat{\beta}$ の更新ルールより $f(\hat{\beta}_1) = \hat{\beta}_2^4$ であるので、これを代入すれば次式の通りになる。

$$\bar{\beta}^4 < \hat{\beta}_2^4 \tag{a12}$$

(a12)式より、 $\bar{\beta} < \hat{\beta}_2$ である。同様の手順を繰り返せば、任意の反復回数 j の $\hat{\beta}_j$ について次式が成り立つことが分かる。

$$\bar{\beta} < \hat{\beta}_j \tag{a13}$$

(a9)式と(a13)式の組み合わせより、「 $\hat{\beta}_j$ は、 $\bar{\beta}$ よりも大きい値の範囲で、反復の度に常に減少する」ということが言える。つまり $\hat{\beta}_j$ は、反復の度に $\bar{\beta}$ に近づき、最終的に $\bar{\beta}$ に収束することが分かる。

付録 3.2 $f(\beta)$ が単調減少関数である場合の収束性証明

はじめに、 $\hat{\beta}_1, \hat{\beta}_2, \hat{\beta}_3$ の大小関係を確認する。 $f(\beta \rightarrow \infty) = k_{h1}B_1/EI_4 = \hat{\beta}_1^4$ なので、 $f(\beta)$ が単調減少な場合は、任意の β について、 $f(\beta) > \hat{\beta}_1^4$ である。したがって、次式が成り立つ。

$$\hat{\beta}_1^4 < f(\hat{\beta}_1) = \hat{\beta}_2^4 \tag{a14}$$

このとき $f(\beta)$ が単調減少であるので、次式が成り立つ。

$$f(\hat{\beta}_1) > f(\hat{\beta}_2) \tag{a15}$$

よって次式も成り立つ。

$$\hat{\beta}_2^4 > \hat{\beta}_3^4 \tag{a16}$$

一方、任意の β において $\hat{\beta}_1 < f(\beta)$ であることより、次式が成り立つ。

$$\hat{\beta}_1^4 < f(\hat{\beta}_2) = \hat{\beta}_3^4 \tag{a17}$$

(a16)、(a17)式より、次の関係が成り立つことが分かる。

$$\hat{\beta}_1^4 < \hat{\beta}_3^4 < \hat{\beta}_2^4 \tag{a18}$$

次に、(a18)式の関係を用いて、任意の反復回数 j の $\hat{\beta}_j$ について $\hat{\beta}_{j-1} < \hat{\beta}_{j+1} < \hat{\beta}_j$ もしくは $\hat{\beta}_j < \hat{\beta}_{j+1} < \hat{\beta}_{j-1}$ であることを示す。まず、(a18)式と $f(\beta)$ が単調減少であることより、次式が成り立つ。

$$f(\hat{\beta}_1) > f(\hat{\beta}_3) > f(\hat{\beta}_2) \tag{a19}$$

よって次式も成り立つ。

$$\hat{\beta}_2^4 > \hat{\beta}_4^4 > \hat{\beta}_3^4 \tag{a20}$$

同様の手順を繰り返すことで、任意の反復回数 j の $\hat{\beta}_j$ について次式が成り立つことが導ける。

$$\begin{cases} \hat{\beta}_{j-1} < \hat{\beta}_{j+1} < \hat{\beta}_j & (j \text{ が偶数}) \\ \hat{\beta}_{j-1} > \hat{\beta}_{j+1} > \hat{\beta}_j & (j \text{ が奇数}) \end{cases} \tag{a21}$$

(a21)式は、「 $\hat{\beta}_j$ は、反復計算によって振動するが、その振幅は反復の度に小さくなる」ということを表している。つまり(a21)式より、 $\hat{\beta}_j$ が収束することが分かる。 $\hat{\beta}_j$ が収束するということは、十分に大きい j において $\hat{\beta}_{j+1}^4 = f(\hat{\beta}_j) \approx \hat{\beta}_j^4$ となることを意味しているため、 $\bar{\beta}$ の定義より、十分に大きい j において $\hat{\beta}_j$ は $\bar{\beta}$ の近似値をとるといえる。